

بررسی پایداری مقاوم سنکرون‌سازی تصویری تعمیم‌یافته دو سیستم آشوب‌گونه به روش کنترل مود لغزشی فعال

مجیدرضا ناصح و محمد حائری

واحد بیرجند دانشکده برق

دانشگاه آزاد اسلامی دانشگاه صنعتی شریف

E-mail: haeri@sina.sharif.edu mjdnasch@gmail.com

چکیده - استفاده از ایده کنترل مود لغزشی فعال در این مقاله مورد توجه قرار گرفته و روشنی جهت سنکرون‌سازی تصویری تعمیم‌یافته دو سیستم آشوب‌گونه در حالت کلی (سیستم‌های غیر مشابه) ارائه گردیده است. علاوه بر آن تأثیر وجود عدم قطعیت در پارامترها در روش پیشنهادی بررسی گردیده است و محدوده‌های عدم قطعیت برای داشتن پایداری سنکرون‌سازی بدست آمده است. لذا با توجه به آن می‌توان کنترل کننده‌ای مقاوم طراحی نمود. شبیه‌سازی‌های کامپیوتربه در بخش بعدی برای نشان دادن موثر بودن روش پیشنهادی ارائه گردیده است.

کلید واژه - کنترل مود لغزشی فعال، سنکرون‌سازی تصویری تعمیم‌یافته، سیستم‌های آشوب‌گونه، محدوده‌های عدم قطعیت.

فاز^۳، سنکرون‌سازی تاخیری^۴، سنکرون‌سازی تعمیم‌یافته^۵ و

۱- مقدمه

غیره^۶[۲].

به منظور رسیدن به هدف سنکرون‌سازی تاکنون روش‌های مختلفی مورد استفاده قرار گرفته است به عنوان نمونه: روش فیدبک خطای^۷[۳]، روش کنترل فعال^۸[۴]، روش مود لغزشی^۹[۵]، روش ضربهای^{۱۰}[۶] و غیره.

کنترل سیستم‌های آشوب‌گونه یکی از مسائل مورد توجه علم مهندسی کنترل در سال‌های اخیر می‌باشد. از جمله شاخه‌های مورد توجه در این رابطه مسئله سنکرون‌سازی سیستم‌های آشوب‌گونه است و در سال‌های اخیر کاربردهای متعددی پیدا نموده است به عنوان مثال: در مخابرات اینمن، بیولوژی، ریاتیک، فیزیک، لیزر، مکانیک و غیره [۱].

در اکثر کارهای تحقیقاتی ساده‌ترین نوع سنکرون‌سازی (که به عنوان کوپلینگ یک طرفه نیز معروف است) مورد بررسی قرار گرفته است، که بر اساس آن، دو سیستم آشوب‌گونه را سنکرون می‌گویند اگر:

منظور از سنکرون‌سازی سیستم‌های آشوب‌گونه، همانگ نمودن حالت‌های یک سیستم آشوب‌گونه پیرو^۱ با یک سیستم آشوب‌گونه مرجع^۲ می‌باشد. در این رابطه با توجه به کاربردهای متعدد، معیارهای سنکرون‌سازی مختلفی تعریف و به کار گرفته شده است، به عنوان نمونه: سنکرون‌سازی

³ Phase synchronization

⁴ Lag synchronization

⁵ Generalized synchronization

⁶ Active control

⁷ Sliding mode control

⁸ Impulsive method

¹ Slave (Response)

² Master (Drive)

روش پیشنهادی مجموعه‌ای از نتایج شبیه‌سازی‌ها ارائه گردیده است و در نهایت بخش پنجم شامل جمع‌بندی و نتیجه‌گیری می‌باشد.

۲- اصول و مبانی ریاضی

در این بخش به بررسی اصول کنترل مود لغزشی فعال به منظور سنکرون‌سازی تصویری تعمیم‌یافته سیستم‌های آشوب‌گونه می‌پردازیم. از مزایای این روش، مقاوم بودن نسبت به وجود عدم‌قطعیت‌ها و سرعت همگرایی بالا می‌باشد.

تعریف: دو سیستم آشوب‌گونه با ابعاد محدود دارای معادلات دینامیکی به صورت رابطه (۳) را در نظر بگیرید:

$$\begin{cases} \text{Drive: } \dot{x} = A_1 x + f_1(x) \\ \text{Response: } \dot{y} = A_2 y + f_2(y) + u(t) \end{cases} \quad (3)$$

که در آن $x, y \in \mathbb{R}^3$ بردارهای حالت دو سیستم، $u(t) \in \mathbb{R}^3$ بردار کنترل، $A_1, A_2 \in \mathbb{R}^{3 \times 3}$ و $f_1, f_2 \in \mathbb{R}^3 \rightarrow \mathbb{R}^3$ نیز به ترتیب نمایانگر بخش‌های خطی و غیرخطی دینامیک سیستم‌ها می‌باشند. این دو سیستم را سنکرون‌سازی شده به صورت تصویری تعمیم‌یافته (GPS) می‌گویند اگر حالت‌های سیستم فرستنده و گیرنده پس از گذشت زمان به صورت خطی بدون بایاس با یکدیگر هماهنگ گردند یعنی:

$$\lim_{t \rightarrow \infty} \|y(t) - \alpha x(t)\| = 0 \quad (3)$$

که در آن α ضریب مقیاس^۹ و مقداری ثابت می‌باشد [9].

در این مقاله فرض بر این است که $A_1 \neq A_2$ و $f_1(x) \neq f_2(x)$ یعنی در حالت کلی دو سیستم غیرمشابه می‌باشند. روش کنترل مود لغزشی فعال در واقع از ترکیب دو روش کنترل فعال و همچنین کنترل مود لغزشی تشکیل گردیده است. اصول اجرای این روش به منظور سنکرون‌سازی معمولی (غیر تعمیم‌یافته) تحت شرایط غیرنامی با وجود عدم‌قطعیت و برای سیستم‌های آشوب‌گونه مشابه در مراجع [10] و [11] ارائه گردیده است. در بخش بعدی روش پیشنهادی به منظور سنکرون‌سازی تصویری

$$\lim_{t \rightarrow \infty} \|y(t) - x(t)\| = 0 \quad (1)$$

که در آن منظور از $(t)x$ و $(t)y$ حالت‌های سیستم‌های فرستنده و گیرنده می‌باشد [1].

در این مقاله، وضعیت توسعه یافته‌تری از سنکرون‌سازی که به نام سنکرون‌سازی تصویری تعمیم‌یافته (GPS)^{۱۰} می‌باشد مورد بررسی قرار می‌گیرد. به طور کلی با سنکرون‌سازی تعمیم‌یافته می‌توان به رفتار مطلوب‌تری دست یافت و علاوه بر آن با توجه به محدودیت‌های عملی از جمله عدم تطبیق پارامترها، اعوجاج به دلیل کanal ارتباطی (به منظور ارتباطات) و دلایل دیگر بهتر است از این روش سنکرون‌سازی استفاده نمود.

در رابطه با آخرین کارهای انجام شده در این رابطه می‌توان به مرجع [7] اشاره نمود که در آن از روش کنترل فعال برای سنکرون‌سازی تصویری تعمیم‌یافته دو سیستم آشوب‌گونه مشابه بدون وجود عدم‌قطعیت استفاده نموده است. یکی دیگر از مراجع در این رابطه [8] است که در آن از روش کنترل گام به عقب فعال^{۱۱} جهت سنکرون‌سازی دو سیستم غیرمشابه تحت شرایط نامی (بدون وجود عدم‌قطعیت) استفاده گردیده است. از محدودیت‌های مقالات مذکور این است که با فرض وجود اطلاعات کامل از پارامترهای سیستم‌های فرستنده و گیرنده طراحی تحت شرایط نامی انجام گرفته است و این در صورتی است که در عمل چنین چیزی بسیار ایده‌آل گرایانه است. در این مقاله روشی جهت سنکرون‌سازی تصویری تعمیم‌یافته برای دو سیستم آشوب‌گونه در حالت کلی (مشابه و یا غیرمشابه) با وجود عدم‌قطعیت به روش کنترل مود لغزشی فعال^{۱۲} ارائه گردیده است.

این مقاله علاوه بر بخش کنونی به عنوان مقدمه از بخش‌های زیر تشکیل گردیده است: در بخش دوم اصول و مبانی ریاضی لازم ارائه گردیده است، در بخش سوم روشی به منظور سنکرون‌سازی تصویری تعمیم‌یافته به روش کنترل مود لغزشی فعال با وجود عدم‌قطعیت پیشنهاد گردیده است. در بخش چهارم جهت نشان دادن کارآیی

^۹ Generalized projective synchronization

^{۱۰} Active Backstepping Control

^{۱۱} Active sliding mode control

^{۱۲} Scaling factor

در صورتی که عدم قطعیت بخش غیرخطی $\Delta f_2(y)$ در لیپشیتز^{۱۳} با ضریب λ_2 باشد یعنی $|\Delta f_2(y) - \Delta f_2(x)| \leq \lambda_2 |y - x| = \lambda_2 |e|$ فرضیات می‌تواند $L_2 e - \Delta f_2(x) = L_2 e$ باشد، که در آن $\|L_2\| = \lambda_2$ است. از طرف دیگر با توجه به محدود بودن عدم قطعیتها می‌توان فرض نمود که $\alpha \Delta f_1(x) = \alpha L_1 x - \Delta f_1(x)$ که در آن $\|L_1\| = \lambda_1$ می‌باشد. در مجموع با در نظر گرفتن سه شرط: وجود عدم قطعیتهای محدود در بخش خطی سیستم، لیپشیتز بودن عدم قطعیتها در بخش غیرخطی سیستم و همچنین محدود بودن حالتها [۱] در سیستم آشوب‌گونه فرستنده خواهیم داشت:

$$\begin{aligned} N(x, y) &= (\Delta A_2 + L_2)e + \alpha(\Delta A_2 - \Delta A_1 + L_1)x \\ &= Me + \alpha Bx \end{aligned} \quad (10)$$

که در آن طبق تعریف، $M = \Delta A_2 + L_2$ و $B = \Delta A_2 - \Delta A_1 + L_1$ می‌باشند. بردار کنترل ورودی $H(t)$ را به صورت زیر در نظر می‌گیریم:

$$H(t) = K w(t) \quad (11)$$

که در آن $K = [k_1 \ k_2 \ k_3]^T$ یک بردار گین ثابت و $w(t) \in R^3$ نیز ورودی کنترلی است که شرایط زیر را برقرار می‌سازد:

$$w(t) = \begin{cases} w^+(t) & s(e) \geq 0 \\ w^-(t) & s(e) < 0 \end{cases} \quad (12)$$

در رابطه فوق $s = s(e)$ سطح سوئیچینگ است و تعیین کننده دینامیک لغزش مطلوب می‌باشد. بنابراین دینامیک خطای به صورت رابطه زیر در می‌آید:

$$\dot{e} = A_2 e + Kw(t) + N(x, y) \quad (13)$$

می‌توان سطح لغزش را به صورت رابطه (۱۴) در نظر گرفت:

$$s(e) = Ce \quad (14)$$

که در آن $C = [c_1 \ c_2 \ c_3]$ ماتریسی از مقادیر ثابت است و به منظور داشتن سطح لغزشی بایستی شرایط زیر را

تعیین می‌افته با وجود عدم قطعیت ارائه گردیده است.

۳- کنترل مود لزشی فعال با وجود عدم قطعیت

در عمل اطلاعات کامل از پارامترهای سیستم‌ها کاری بسیار مشکل و گاه‌گاه غیر ممکن می‌باشد به همین دلیل بهتر است که طراحی کنترل کننده بر اساس وجود عدم قطعیت‌ها انجام گیرد، بنابراین با در نظر گرفتن عدم قطعیت می‌توان دینامیک سیستم‌های فرستنده و گیرنده را به صورت زیر بیان نمود:

$$\begin{cases} \dot{x} = (A_1 + \Delta A_1)x + f_1(x) + \Delta f_1(x) \\ \dot{y} = (A_2 + \Delta A_2)y + f_2(y) + \Delta f_2(y) + u(t) \end{cases} \quad (4)$$

که در آن $\Delta A_1, \Delta A_2 \in R^{3 \times 3}$ ماتریس‌های عدم قطعیت نامشخص در بخش خطی و $R^3 \rightarrow R^3$ توابع $\Delta f_1, \Delta f_2 \in R^3$ برداری عدم قطعیت نامشخص در بخش غیرخطی دینامیک سیستم‌ها می‌باشد، هدف یافتن بردار کنترلی $u(t)$ به گونه‌ای است که سنکرون‌سازی تصویری تعیین می‌افته حاصل گردد به عبارت دیگر رابطه (۳) برقرار شود.

با تعریف خطای به صورت $e(t) = y(t) - \alpha x(t)$ و استفاده از (۴) خواهیم داشت:

$$\begin{aligned} \dot{e} &= A_2 y + f_2(y) - \alpha A_1 x - \alpha f_1(x) \\ &\quad + \Delta A_2 y + \Delta f_2(y) - \alpha \Delta A_1 x - \alpha \Delta f_1(x) + u(t) \end{aligned} \quad (5)$$

با توجه به تئوری کنترل فعال می‌توان بردار کنترلی را به صورت زیر انتخاب نمود:

$$u(t) = H(t) - f_2(y) + \alpha f_1(x) - \alpha(A_2 - A_1)x \quad (6)$$

در اینصورت دینامیک خطای عبارتست از:

$$\begin{aligned} \dot{e} &= H(t) + A_2(y - \alpha x) + N(x, y) \\ &= H(t) + A_2 e + N(x, y) \end{aligned} \quad (7)$$

که در آن $N(x, y)$ نشان‌دهنده عدم قطعیت در دینامیک خطای می‌باشد و داریم:

$$N(x, y) = \Delta A_2 y + \Delta f_2(y) - \alpha \Delta A_1 x - \alpha \Delta f_1(x) \quad (8)$$

رابطه (۸) را می‌توان به صورت زیر باز نویسی نمود:

$$\begin{aligned} N(x, y) &= \Delta A_2 e + \alpha(\Delta A_2 - \Delta A_1)x \\ &\quad + (\Delta f_2(y) - \Delta f_2(x)) + (\Delta f_2(x) - \alpha \Delta f_1(x)) \end{aligned} \quad (9)$$

¹³ Lipschitz

زیر بازنویسی نمود:

$$\dot{e} = [M + A_2 - K(CK)^{-1}C(rI + A_2)]e - K(CK)^{-1}q \operatorname{sgn}(s) + \alpha Bx \quad (20)$$

برای مقادیر محدود s و x در صورتی که ماتریس $M + A_2 - K(CK)^{-1}C(rI + A_2)$ منفی معین باشد، دینامیک خطای (۱۸) پایدار خواهد بود. برای اثبات محدود بودن سطح لغزش \dot{s} تابع کاندید لیپاونوف را به صورت زیر در نظر می‌گیریم:

$$V = 0.5s^2 \quad (21)$$

با مشتق‌گیری نسبت به زمان داریم:

$$\dot{V} = ss\dot{s} = sC\dot{e} = sC\{[A_2 - K(CK)^{-1}C(rI + A_2)]e - qK(CK)^{-1}\operatorname{sgn}(s) + N\} \quad (22)$$

با توجه به رابطه (۱۰) خواهیم داشت:

$$\dot{V} = sC[A_2 - K(CK)^{-1}C(rI + A_2)]e - qss\operatorname{sgn}(s) + sC(Me + \alpha Bx) \quad (23)$$

با تعریف $Q = -[A_2 - K(CK)^{-1}C(rI + A_2)]$

داشت:

$$\dot{V} = -e^T C^T C(Q - M)e - q|s| + \alpha sCBx \quad (24)$$

با توجه به اینکه $\alpha sCBx \leq |\alpha|s\|C\|\beta|x|$

$$\dot{V} \leq -e^T C^T C(Q - M)e + |s|(\beta|\alpha|\|C\|x| - q) \quad (25)$$

بنابراین اگر شرایط $Q - M \geq 0$ و $\beta|\alpha|\|C\|x| - q \leq 0$ برقرار باشند آنگاه \dot{V} منفی معین می‌گردد. نتیجتاً با انتخاب پارامترهای کنترل کننده به طوری که فرضیات فوق برقرار گردد سطح لغزش \dot{s} محدود می‌گردد و لذا دینامیک خطای (۲۰) نیز پایدار خواهد گردید.

۴- شبیه‌سازی‌ها

در این بخش مجموعه‌ای از شبیه‌سازی‌ها ارائه گردیده است. سیستم آشوب‌گونه master ، لورن^{۱۴} و سیستم slave ، چن^{۱۵} انتخاب گردیده‌اند، معادلات توصیف‌کننده این سیستم‌ها عبارتست از:

¹⁴ Lorenz
¹⁵ Chen

داشته باشد:

$$s(e) = 0, \dot{s}(e) = 0 \quad (15)$$

در ادامه جهت طراحی قانون مود لغزشی مناسب از قاعده زیر استفاده می‌کنیم [12]-[10]:

$$\dot{s} = -q\operatorname{sgn}(s) - rs \quad (16)$$

منظور از $\operatorname{sgn}(\cdot)$ تابع علامت است و ضرائب $0 < q < r$ بایستی به گونه‌ای انتخاب گردد که شرایط حرکت لغزشی برآورده کنند.

از طرفی دیگر با مشتق گیری از رابطه (۱۴) و جایگزینی از (۱۳) خواهیم داشت:

$$\dot{s} = C[A_2 e + Kw(t) + N(x, y)] \quad (17)$$

با توجه به رابطه (۱۳) و همچنین ترکیب روابط (۱۶) و (۱۷) دینامیک خطای (۱۰) به صورت زیر خواهد گردید:

$$\dot{e} = [A_2 - K(CK)^{-1}C(rI + A_2)]e - K(CK)^{-1}q \operatorname{sgn}(s) + N(x, y) \quad (18)$$

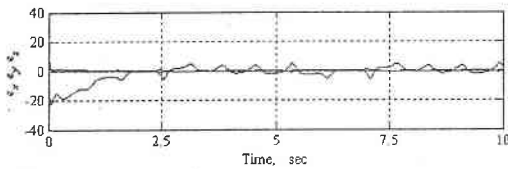
رابطه (۱۰) را می‌توان به صورت زیر بازنویسی نمود:

$$|N(x, y)| \leq \mu|e| + \beta|x| \quad (19)$$

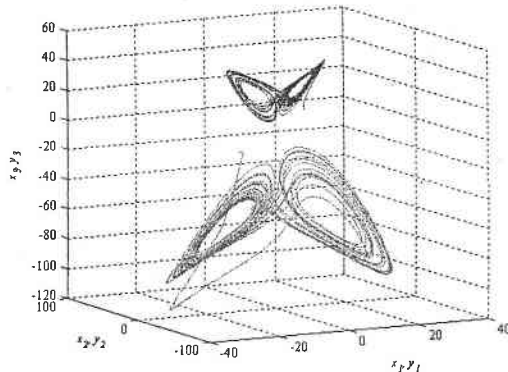
که در آن $\mu = \|B\|$ و $\beta = \|M\|$ می‌باشد. با توجه به محدود بودن حالت‌های سیستم‌های آشوب‌گونه فرستنده [۱] می‌توان نتیجه گرفت که عدم قطعیت به صورت خطی با خطای محدود می‌گردد.

قضیه: سیستم‌های آشوب‌گونه (۲) با وجود عدم قطعیت‌های محدود در صورت انتخاب مناسب بردارهای C و K و همچنین پارامترهای q و r با استفاده از بردار کنترلی (۶) می‌توانند به صورت تصویری تعمیم‌یافته سنکرون گردد، علاوه بر آن محدوده‌های عدم قطعیت قبل قبول جهت حفظ پایداری سنکرون‌سازی به ضریب مقیاس α وابسته می‌باشد.

اثبات: با توجه به مطالب ارائه شده در بخش قبل، با انتخاب بردار کنترلی (۶)، دینامیک خطای (۱۸) به صورت رابطه (۱۰) بدست می‌آید و با استفاده از (۱۰) می‌توان آن را به شکل



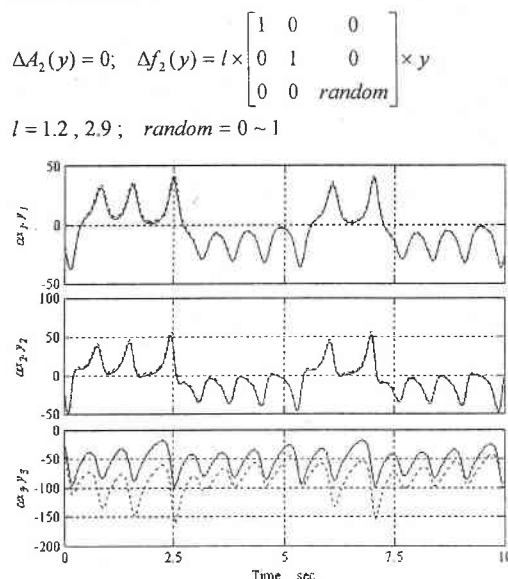
شکل ۲: تغییرات خطا بدون وجود عدم قطعیت.



شکل ۳: تغییرات حالت‌های سیستم‌ها به صورت سه بعدی.

در شکل‌های ۴ و ۵ به منظور بررسی تاثیر وجود عدم قطعیت بر سنکرون‌سازی GPS، تغییرات حالت‌های سیستم‌ها، ترسیم گردیده است.

Uncertainties:


 شکل ۴: تغییر حالت سیستم‌ها با وجود عدم قطعیت $l = 1.2$.

Lorenz: $\begin{cases} \dot{x} = \sigma(y - x) \\ \dot{y} = \rho x - y - xz \\ \dot{z} = xy - \beta z; \quad \sigma = 10, \quad \rho = 28, \quad \beta = \frac{8}{3} \end{cases}$

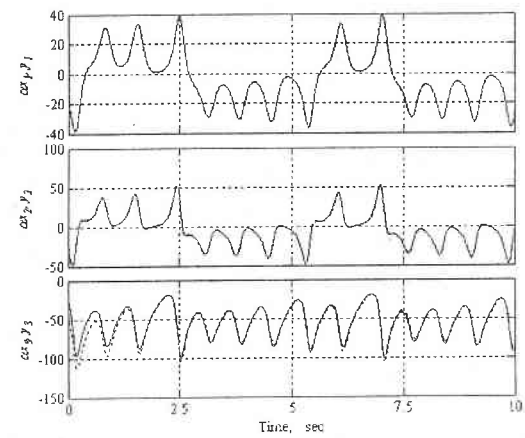
Chen: $\begin{cases} \dot{x} = a(y - x) \\ \dot{y} = (c - a)x - xz + cy \\ \dot{z} = xy - bz; \quad a = 35, \quad b = 3, \quad c = 28 \end{cases}$

شرایط اولیه برای سیستم‌های فرستنده و گیرنده به ترتیب:

$$y_0 = [-10 \quad 5 \quad -14]^T \quad \text{و} \quad x_0 = [10 \quad 10 \quad 10]^T$$

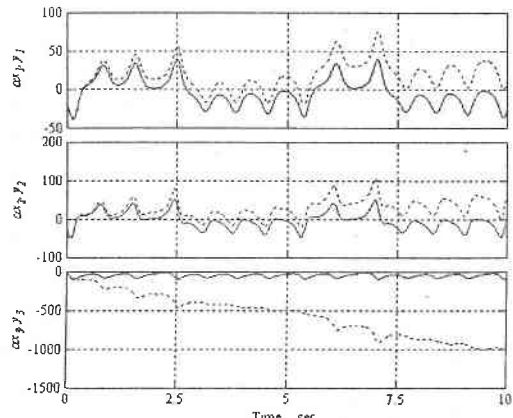
می‌باشد، همچنین مقدار ضریب مقیاس $\alpha = 2.3$ گردیده است. علاوه بر آن به منظور محاسبه بردار کنترلی از ماتریس‌های $[-3 \quad 5 \quad 2]^T$ و $C = [-1.5 \quad 5 \quad 2]^T$ و $K = [1 \quad 2]^T$ استفاده شده است.

در شکل ۱ تغییرات حالت‌های سیستم‌های فرستنده و گیرنده ترسیم گردیده است و در شکل ۲ تغییرات خطا ترسیم گردیده است، همنگونه که ملاحظه می‌گردد در زمانی کمتر از ۲ ثانیه سنکرون‌سازی حاصل گردیده است و پس از آن خطا در یک محدوده باقی مانده است که دلیل آن متفاوت بودن ساختار سیستم‌های فرستنده و گیرنده می‌باشد و هیچگاه مقدار خطا به طور دقیق صفر باقی نمی‌ماند. در شکل ۳ تغییرات حالت‌های سیستم‌ها به صورت سه بعدی ترسیم گردیده است.



شکل ۱: تغییرات حالت‌های سیستم‌های بدون وجود عدم قطعیت.

- Unified Chaotic Systems", Chaos, Solitons and Fractals; 26: 1119-1124, 2005.
- [10] Zhang H., X.K. Ma, and W.Z. Liu, "Synchronization of Chaotic Systems with Parametric Uncertainty Using Active Sliding Mode Control", Chaos, Solitons and Fractals; 21: 1249-1257, 2004.
- [11] Yan H.T., "Design of Adaptive Sliding Mode Controller for Chaos Synchronization with Uncertainties", Chaos, Solitons and Fractals; 22: 341-347, 2004.
- [12] Lin J.Sh., J.J. Yan, and T.L. Liao, "Chaotic Synchronization via Adaptive Sliding Mode Observers Subject To Input Nonlinearity", Chaos, Solitons and Fractals; 24: 371-381, 2005.



شکل ۵: تغییر حالت سیستم‌ها با وجود عدم قطعیت $J = 2.9$

۵- نتیجه‌گیری

در این مقاله روشی جهت سنکرون‌سازی تصویری تعمیم‌یافته (GPS) دو سیستم آشوب‌گونه ارائه گردیده است. همانگونه که ملاحظه می‌شود با انتخاب مناسب پارامترهای کنترل‌کننده یعنی بردارهای C ، K و ثابت‌های α و β سنکرون‌سازی حتی با وجود عدم قطعیت امکان‌پذیر می‌باشد. همچنین مشخص گردید که ضریب مقیاس α در تعیین محدوده‌های عدم قطعیت جهت پایداری سنکرون‌سازی موثر می‌باشد.

مراجع

- [1] A.L. Fradkov, and R.J. Evans, "Control of Chaos: Methods and Applications in Engineering", Annual Reviews in Control; 29(1): 33–56, 2005.
- [2] S. Banerjee, P. Saha, and A.R. Chowdhury, "On the Application of Adaptive Control and Phase Synchronization in Non-Linear Fluid Dynamics", International Journal of Non-Linear Mechanics; 39(1): 25–31, 2004.
- [3] C.W. Wu, and L.O. Chua, "A Unified Framework for Synchronization and Control of Dynamical Systems", International Journal of Bifurcation and Chaos, 4(4), 979–989, 1994.
- [4] M.T. Yassen, "Chaos synchronization between two different chaotic systems using active control", Chaos, Solitons & Fractals; 23:131–140, 2005.
- [5] Z. Li, and S. Shu, "Robust Adaptive Synchronization of Rossler and Chen Chaotic Systems via Slide Technique", Physics Letters A; 311, 389–395, 2003.
- [6] T. Stojanovski, L. Kocarev, and U. Parlitz, "Driving and Synchronization by Chaotic Impulses", Physical Review E; 54(2): 2128-2131, August 1996.
- [7] G.H. Li, "Generalized Projective Synchronization of Two Chaotic Systems by Using Active Control", Chaos, Solitons and Fractals; 30, 77-82, 2006.
- [8] G.H. Li, S.P. Zhou, K. Yang, "Generalized Projective Synchronization Between Two Different Chaotic Systems Using Active Backstepping Control", Physics Letters A; 355, 326-330, 2006.
- [9] J. Yan, C. Li, "Generalized Projective Synchronization of a